

# ブロックづみ橋脚のつぎてについて

河野通之  
池原武一郎  
小寺重郎

## 1. 設計、施工上の問題点

現場におけるコンクリート構造物施工の工期を短縮するために、あらかじめ製作プラントでつくったプレキャスト部材を現場でくみたてることは広く欧米諸国で行なわれており、わが国でも最近プレキャスト部材の土木工事における使用例は増加している。ここに報告するものは、

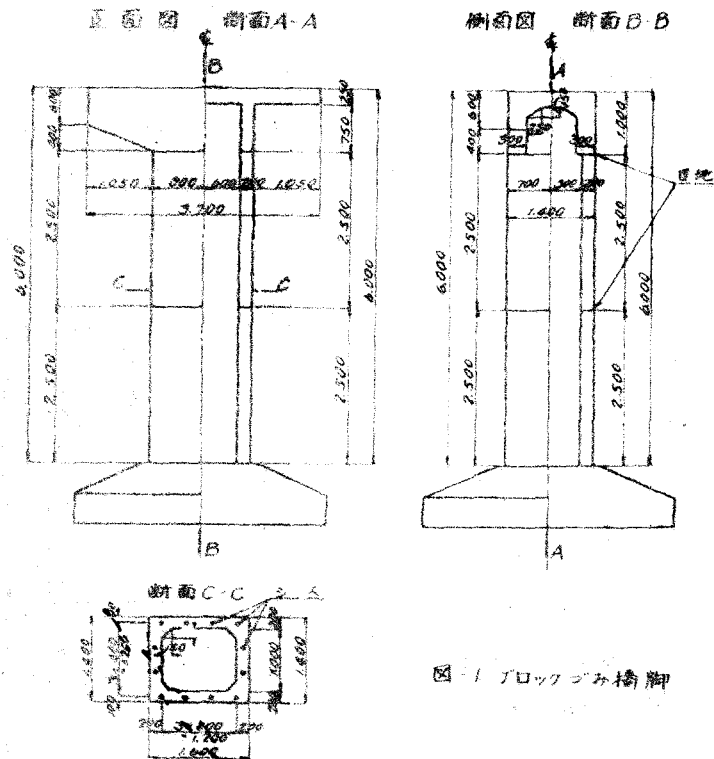


図-1 ブロックづみ橋脚

\* 国鉄新幹線総局設計課

\*\* 調査室

\*\*\* 設計課

おもに橋脚などの垂直部材をブロックに分けてプレキヤスト部材としてつくり、現場でくみたてる場合のつぎの研究である。

図1はスパン12.5 mの鉄筋コンクリート単線鉄道橋のブロックづみ橋脚の設計例であり、橋脚軸体は中空断面としてブロックに分けてつみ重ねる。頂部はけたをうけるために巾の広い特殊ブロックとしている。中空断面としたのはブロックをなるべく軽くして取り扱いし易くするためと、軸力と曲げをうける部材として合理的な断面とするためである。断面を示す12本のシース内に径2.2 mmのP C鋼棒を入れ、その有効緊張力を $6 t/cm^2$ とすれば、軸体には $23.3 kg/cm^2$ のプレストレスを生じる。軸体下端における死荷重応力は $16.6 kg/cm^2$ であり、震度0.2とした場合の合成緑応力は圧縮 $9.22 kg/cm^2$ 、引張 $1.24 kg/cm^2$ となる。震度0.15の場合、制動力、遠心力などによつては引張応力を生じない。活荷重による最大圧縮応力は $7 kg/cm^2$ にすぎない。同じ橋脚でつぎてを鉄筋にした場合には、震度0.2の地震力作用時の鉄筋許容応力を $2.4 t/cm^2$ とすると、下端断面でS S D 4.9、径3.2 mmの異形鉄筋16本が必要となる。フーチング内に90 cm埋めこむとすると、 $\delta_s = 2.4 t/cm^2$ の場合の鉄筋の付着応力は $21.3 kg/cm^2$ となる。

制動力、遠心力による鉄筋応力は $1.6 t/cm^2$ をこえない。ブロックを何コに分けるかは、運搬、架設などの条件を考えて決ればよい。軸体の重量は高さ1 m当たり約2.6 tである。

このような垂直部材のくみたては、けたなどの水平部材をブロックに分けてくみたてる場合とかなり条件が異なるので、次の諸点を主眼にして、小型試験けたによつてつぎの強度をしらべた。

イ) 図1のような部材は荷重によつておもに軸圧縮力をうけ、曲げの影響は水平部材の場合に

比して僅かであり、しかも制動力、地震力などが作用する場合に限られることが多い。したがつてプレキヤスト部材を結合するにも必ずしも鋼材をプレストレスする必要はない。試験では異形鉄筋によつぎの強さについてもしらべた。

ロ) ブロックをなるべく簡単に、また速やかに重ねられるように、ブロックをd/yのままにつみ重ねる方法を考えた。大きなブロックの端面が互いに密着するよう仕上げるのは難かしく、またそのよう

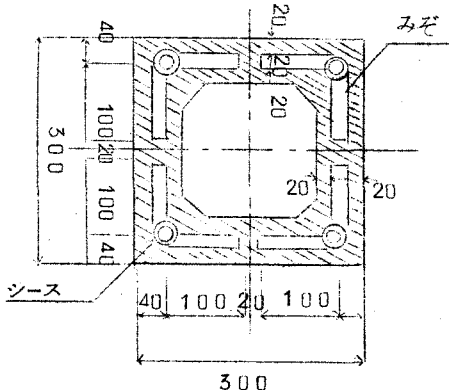


図2 試験体のみぞつき目地端面  
(甲型)

な場合には接面のずれ抵抗も小さくなると考えられるので、つみ重ねるさいには面の一部で接するようにし、他の部分はつみ重ね後にペーストを注入して填充できるように工夫した。このために図2に示すようにブロック端面に深さ5mmの溝をつけこの溝をつなぎ用鋼材を挿入するシースと連絡させ、シースを注入するさいに同時に溝も注入しうるようにした。試験ではこのような溝つきのd-f-y目地と普通のモルタル目地とを比較した。

ハ) フーチングは現場で打設するのが普通であるから、そのときに、軸体ブロックを連結しフーチングに碇結する鋼材の碇着装置をうめこまねばならない。連結用鋼材はブロックつみ重ね後に通した方が施工し易いから、PC鋼棒を用いるときにはフーチング上面などにつぎ手を設け、あらかじめフーチングに碇着した鋼棒とカツプラーでつなぐことが考えられる。異形鉄筋をつぎ手に使うときには、フーチングに鉄筋の碇着に必要な深さの孔を設け、ブロックくみたて後に鉄筋をその孔の下まで通し、孔をシースと同時に注入して、鉄筋をフーチングに碇着することも考えられる。

## 2. 試験けたの製作

図3に示すようなA,B,C3種の試験けたをつくり、AけたでPC鋼棒でつないでプレス

図3-1 Aけた

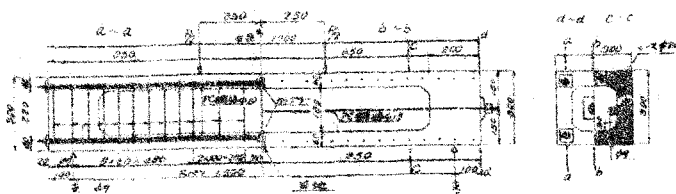


図3-2 Bけた

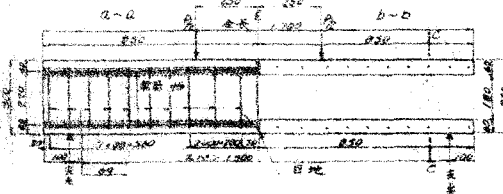
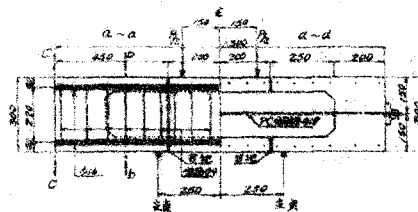


図3-3 Cけた



トレスした目地の曲げ強度、Bけたで異形鉄筋でつないだ目地の曲げ強度、Cけたで鉄筋を通してした目地の剪断強度について試験した。各けたとも1のロで述べたような溝つき目地の場合（甲型）、と端面を平らにして厚さ10mmの目地にもモルタルを填充した場合（乙型）について比較した。（以下たとえばA甲けたと呼ぶものは甲型の目地を有するAけたのことである）試験けたのコンクリート、目地モルタル、グラウトの配合、強度を表1に示す。セメントは浅野ペロセメントを用いた。強度は径10cm、高さ20mmの供試体で測定した値である。

表1-1 コンクリート配合

粗骨材 最大寸法 mm	単位 水量 kg	単位セメント量 kg	W/C	細骨材 量 kg	粗骨材 量 kg	現場養生供試体	
						7日強度 kg/cm <sup>2</sup>	28日強度 kg/cm <sup>2</sup>
15	148	330	45	995	1034	平均334	平均229

表1-2 目地モルタル配合と強度

砂セメント比	W/C	7日強度 kg/cm <sup>2</sup>	28日強度 kg/cm <sup>2</sup>
1:3	45%	196	285

表1-3 グラウト配合と強度

W/C	ポゾリス No.8 セメント比	アルミ粉 セメント比	7日強度 kg/cm <sup>2</sup>
45%	0.25%	0.01%	207

各ブロックは目地が底面になる状態でコンクリート打ちし、振動し固めした。ブロックのつなぎ合せは、水平位置で、すなわち目地が鉛直になる状態で行なつた。みぞつき目地の接面には注入ペーストが目地から外にもれないように縁にオイルバテをぬつてブロックを重ねた。シースと鋼材との間隙が小さい上に、鋼材のひずみ測定用の線がシース内を通つているので、ペースト注入にはかなりの圧力を要し、そのため一部目地からペーストがもれたものもあつたが、一例を除き溝をペーストで填充することができた。実際の施工に当つては、注入圧がなるべく低くすむように、シースの径を充分大きくとり、さらに目地の縁にはペーストの流出を防ぐためにアスファルト系の粘性材をはさんでブロックを重ねるとよいと思われる。注入は当然シースの下端から行うべきである。

### 3 P につぎの曲げ強度 (Aけた)

4 本のシース内に挿入した公称径 $10\text{ mm}$ のつぎ手用P C鋼棒(高周波)は降伏点平均 $11.7\text{ t/cm}^2$ 、破断応力平均 $12.4\text{ t/cm}^2$ で、目地の面でカップラーでついている。他に部材中央に軸力を与えるため公称径 $18\text{ mm}$ の鋼棒を配し両端にアンカーした。 $\phi 10$ 、 $\phi 18$ の鋼棒は何れも $7.5\text{ t/cm}^2$ で緊張した。けたに生じる圧縮応力は $\phi 10$ より $33.6\text{ kg/cm}^2$ 、 $\phi 18$ により $28.5\text{ kg/cm}^2$ である。

Aけたは図 3-1に示すようにスパン $1.5\text{ m}$ とし、目地をスパン中央において、 $\frac{1}{3}$ 点に2点載荷した。荷重Pは1回目 $8\text{ t}$ まで、2回目 $14$ ないし $18\text{ t}$ まで加え、3回目でけたを破壊させた。試験時にも導入したプレストレス $6.21\text{ kg/cm}^2$ が残っているものとすると、スパン中央下縁応力が $0$ 、 $+30$ 、 $+40\text{ kg/cm}^2$ (+は引張応力)になる荷重はそれぞれ $P=9.7$ 、 $14.5$ 、 $16.1\text{ t}$ で、コンクリート上縁応力はそれぞれ $-124$ 、 $-154$ 、 $-164\text{ kg/cm}^2$ である。試験時の材令は $15 \sim 25$ 日である。

図4にみるように、引張縁のひびわれはほとんど目地に集中して生じた。荷重と下縁の目地の開きとの関係を図5に示す。

$P=12\text{ t}$ までは目地の開きは

ほとんど認められず、それ以上

の荷重では開きは漸次増大し、

$P=20 \sim 22\text{ t}$ から急激にふ

え始めている。これは引張側鋼

棒が降伏点応力に達する荷重の

計算値 $22\text{ t}$ にほぼ一致してい

る。けたの破壊はほとんど、 $\phi$

$18$ 鋼棒も降伏点応力に達する

荷重の計算値 $P=27\text{ t}$ 以下で

引張縁鋼棒のつぎて部のねじの

破壊によつて生じた。破壊荷重

は図5に示す通りである。これ

はねじ部の破断伸びの限界に達

したためと思われる。図4にみ

るよう $P=20\text{ t}$ 以上で目地に

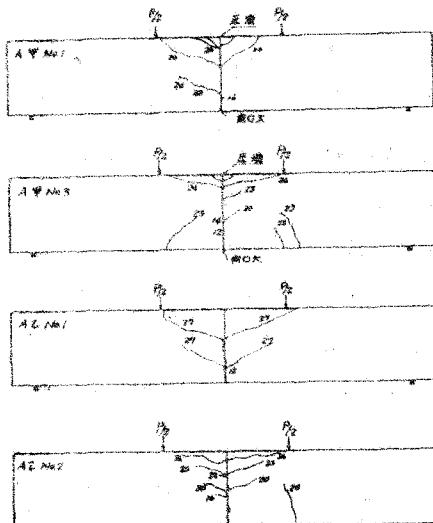


図4 Aけたひびわれ図

(a) 裂割はひびわれがその奥に達した箇所  
(+)を示す。

垂直な水平方向ひ

びわれを生じる。

これは目地部分で

圧縮力が均等に分

布しないためであ

るうが。  $P = 26$

$t$  で圧縮域の高さ

を  $4\text{cm}$  とし、圧縮応

力  $\delta_c$  は圧縮域で

均等だとすると  $\delta_c$

$= 313 \text{kg/cm}^2$  と

なる。この試験結

果の範囲では甲型

乙型との間に有意

差は認められない

こと、目地により

けたの曲げ圧縮強

度はとくに著しく

低下はしていない

ことがいえよう。

同じく A 甲けた

に  $P = 2 \leftrightarrow 20\text{t}$

のくり返し荷重を

加えたところ（材

令 3ヶ月）、8.5

万回で引張側鋼棒のカップラー部の破断によりけたは破壊した。引張鋼棒の測定変動ひずみは約  $1000 \times 10^{-6}$  であった。これは他に行なつた鋼棒ネジ部の疲れ試験<sup>1)</sup> からも推定される。

#### 4. R C つぎての曲げ強度 (B けた)

図 3-2 に示すように 4 本の径  $2.3\text{mm}$  のシース内に径  $1.6\text{mm}$  の Dacon 型異形鉄筋を各 1 本

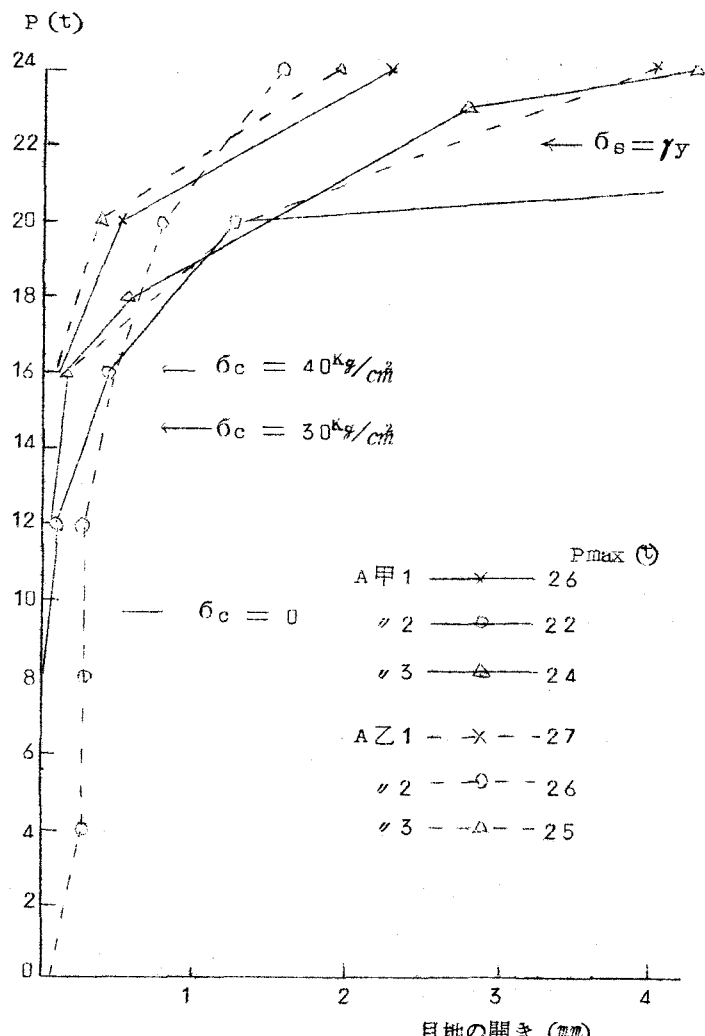


図 5 荷重と目地の開き (A けた)

挿入し、シースを注入したものでプレストレスは全然加えていない。主鉄筋の降伏点応力の実測値は  $4.2 \text{ t/cm}^2$  で Dacon 35 の保証値  $3.5 \text{ t/cm}^2$  よりかなり高かつた。載荷方法は A けたと同様である。荷重は 1 回目 5 ないし  $6 \text{ t}$  まで、2 回目  $9 \text{ t}$  ないし  $11 \text{ t}$  まで加え、3 回目で破壊させた。荷重と各種応力の計算値 ( $n=10$ ) との関係を表 2 に示す。シースには平滑な鋸を使つたので丸鋼なみの許容付着応力をとると、表 2 にみるよう に一定荷重でシース面に生じる付着応力と許容応力の比  $\tau / \tau_{all}$  は他のずれ応力の  $t / t_{all}$  に比して高い。

表 2 荷重と各種応力の計算値 ( $n=10$ )

B けたの場合

応力の種類	荷重 (t)				備考
	6.1	8.4	12.2	16.0	
スパン中央引張鉄筋応力	1600	2200	3200	4200	$\delta_y = 4200$
スパン中央圧縮線応力 $\delta_c$	60	82	119	157	
載荷点、支点間の引張鉄筋付着応力 $\tau_1$	12.6	17.4	25.3	33.2	$\tau_{all}=16$
$\tau_1 / \tau_{all}$	0.79	1.08	1.58	2.07	
載荷点、支点間の引張側シース付着応力 $\tau_2$	8.8	12.1	17.6	23.0	$\tau_{all}=8$
$\tau_2 / \tau_{all}$	1.10	1.51	2.20	2.87	
載荷点、支点間の腹部剪断応力 $\tau$	10.6	14.6	21.2	27.8	$\tau_{all}=20$
$\tau / \tau_{all}$	0.53	0.73	1.06	1.39	
載荷点、支点間の助筋応力	800	1090	1590	2080	$\delta_y = 3530$

図 6 にみるように、B けたでは A けたに比して目地以外の部分にも多くのひびわれを生じている。目地附近の鉄筋のひずみ測定値は  $P$  に比例して直線的に増加しており、その値は計算値とかなり良く合つている。荷重と下縁の目地の開きとの関係を図 7 に示す。図中一点鎖線はけた下縁の支点間のひびの計算値を示すが、図にみるように乙 2 けたを除き目地の開きは  $P=12 \text{ t}$  まではこの計算値の  $1/3$  以下である。これは図 6 にみるように目地以外にもひびわれを生じているからであり、シース内の鉄筋の付着が良好なことを示している。甲 2、乙 1 けたは  $P=12 \text{ t}$  以後目地の開きが急増しており、鉄筋応力が降伏点に達するのは  $P=16 \text{ t}$  であることから

考えて、シースの壁面にすべりを生じたのではないかと想像される。

甲2、乙1けたは載荷点に達する斜ひびわれが増幅して、載荷点直下のコンクリート圧縮縁で破壊し、甲1けたは目地の開口が大きくなつて目地部の圧縮縁が圧潰した。

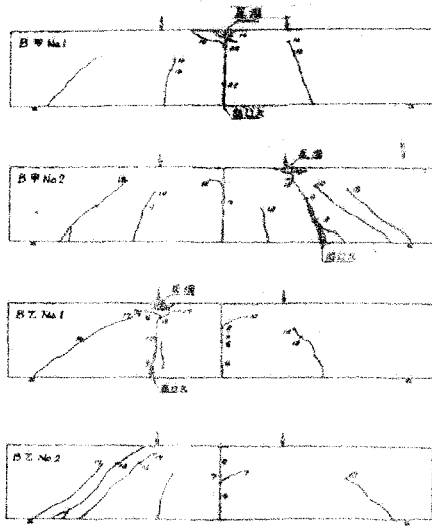


図6 破壊したひびわれ図  
(C) 補充はひびわれがすみに及ぼす影響にはまづある。

B甲けた2本に同じ載荷状態で、 $P=2 \leftrightarrow 1.5$ tのくり返し荷重を加えたところ、B甲3けたは3.3万回、B甲4けたは0.7万回前後で載荷点下の斜めきれつが拡大し、変形が大きくなつたのでくり返し試験を中止した。その後静的に載荷したところ、甲3は14.8t、甲4は15.4tで上記きれつの拡大により破壊した。何れのけたも、けた端面で引張鉄筋がシースの内壁で滑動しているのが認められた。(表-2の計算値参照)写真1はくり返し載荷したB甲けたの破壊状況をけたの斜め下方からみたものである。なお試験時の材令は静試験15~25日、動試験2ヶ月であつた。

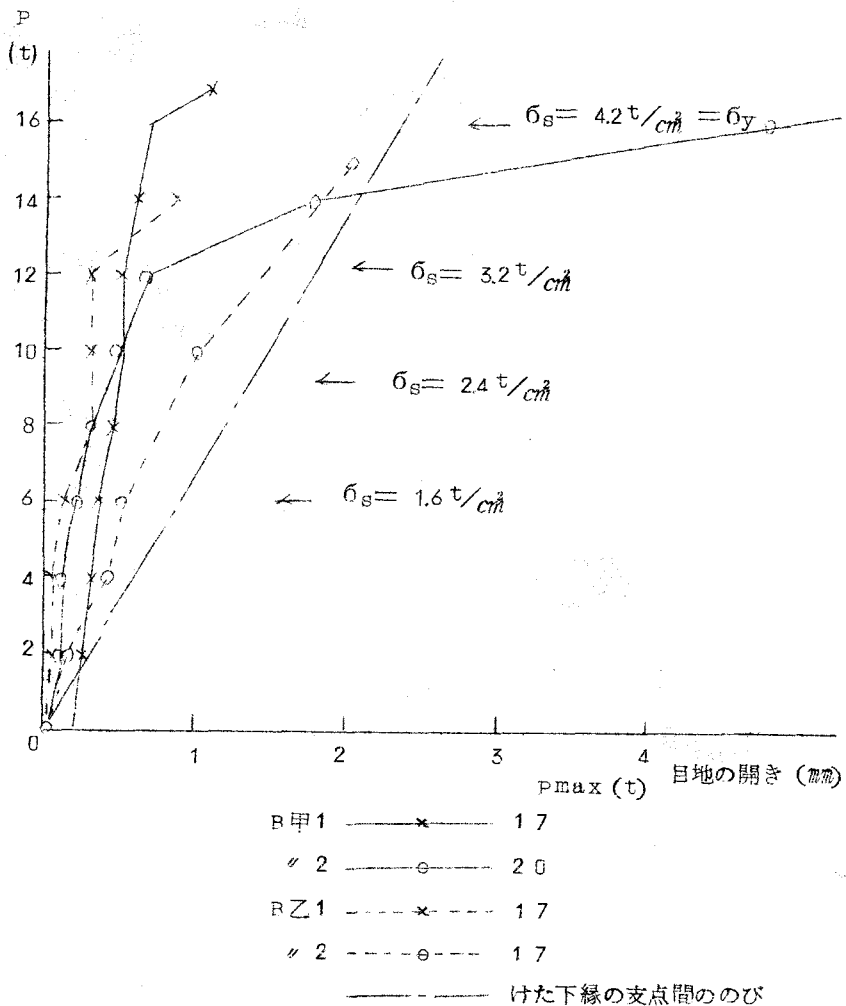


図 7 荷重と目地の開き (Bけた)



写真-2 Cけたのすれ破壊

### 5. RCつぎての剪断強度 (Cけた)

Cけたは図3-3に示すように3ヶのブロックをくみ合わせたもので、断面はBけたと同様で4本のシース内には普通鉄筋φ16を挿入しセメントペーストを注入してブロックを連結した。荷重は目地から内方へ5cmの断面に加え、目地の外方5cmの点で支えた。目地は甲、乙2種類とし、他に乙型目地で鉄筋を挿入しないもの（丙型）を1ヶ試験した。また軸力Nの影響をしらべるためにけたの両端にφ18のPC鋼棒をアンカーL<sub>N</sub>=17tで緊張したものと、全然

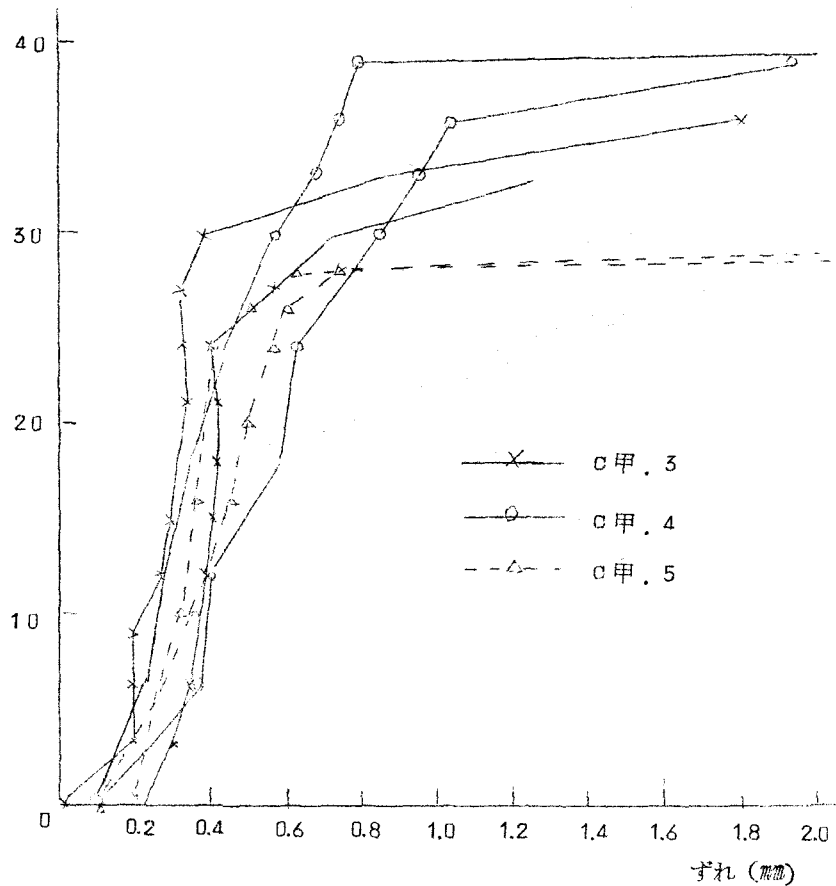


図8 C甲けたの荷重とずれ

緊張しないもの ( $N=0$ ) とを比較した。

図8、9にそれぞれC甲、乙けたの荷重と目地のずれとの関係を示す。各けたにつき左右の目地の値を別々にあげた。図に示す値は一般に3回目の載荷で測つたものであり、1回目の載荷の0点を原点にとつた。図をみるとずれもすれも以下範囲ですれば荷重とともにほぼ直線状に増加し、一定荷重（降伏荷重と仮称する）をこえるとずれが急激にふえる。表3にみると降伏荷重  $P_y$  はほぼひびわれが、顕著に認められる荷重  $P_R$  と一致している。C甲、乙ともに  $N=0$  の場合は、 $N=17\text{ t}$  の場合に比して  $P_y$ 、 $P_R$  何れも小さいが（表3参照）、はじめ予期したほどその差は著しくなく、 $P_y$  以下の曲線は両者とも同様である。 $N=17\text{ t}$  の場合にはC甲の方がC乙よりも  $P_y$ 、 $P_R$  何れも大きい傾向がある。一般にC甲の方がC乙に比し

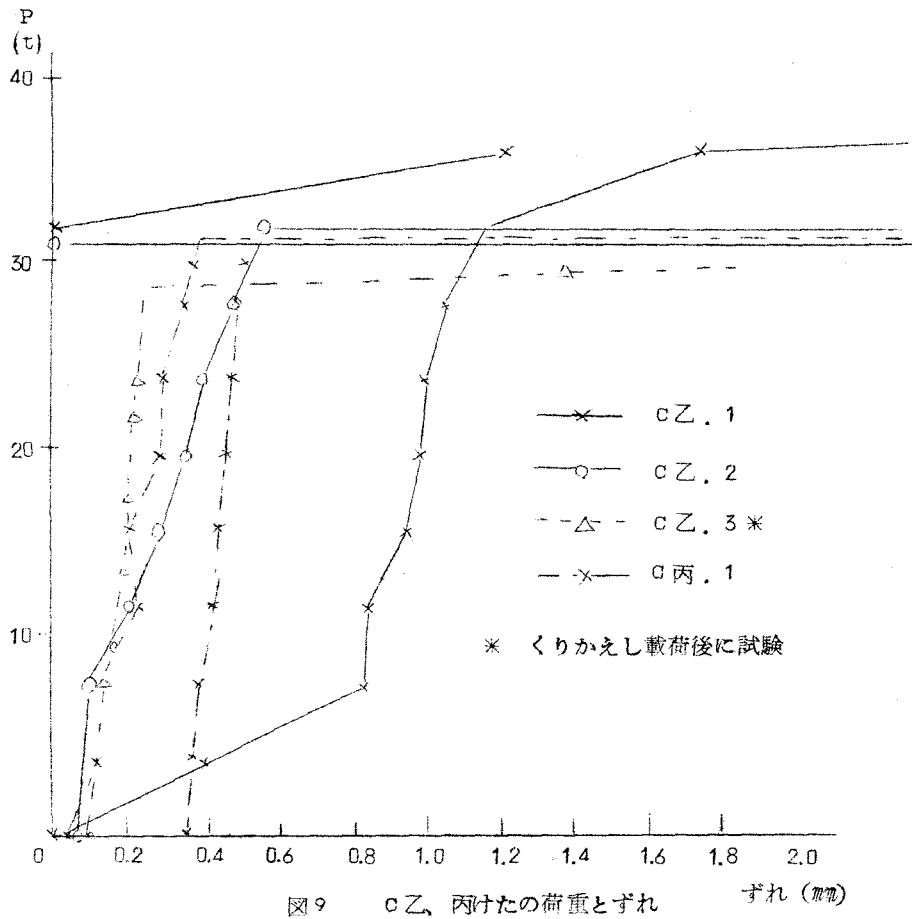


図9 C乙、丙けたの荷重とずれ

### 第-3 Cけた試験結果

$P_R$ ,  $P_y$ ,  $P_B$ はそれぞれひびわれ、降伏、破壊荷重 (t)

けた番号	N (t)	載 荷	$P_R$	$P_y$	$P_B$	最終ずれ (mm)	試験時 材令(日)
C甲3	17	静0→9, 0→ $P_B$	32	32.33	40		22
〃4	17	静0→9, 0→30, 0→ $P_B$	33	36.39	40		21
〃5	0	静0→16, 0→24, 0→ $P_B$ (×3) (×3)		28	≥30		100
〃6	0	動2→24→5.3万回				24.0	102
〃7	0	動2→20を7.1万回				6.0 0.4	106

C 甲7	0	静 動載荷後		24. > 26	$\geq 30$	14.0 8.0	107
C 乙1	17	静 0→9, 0→30, 0→P <sub>R</sub>	32	32.32	39		29
〃 2	17	静 0→9, 0→30, 0→P <sub>B</sub>	30	31.32	34		29
〃 3	0	動 2→20を1.1万回 2→24を4.8万回				1.1 0.2	108
〃 3	0	静		29	$\geq 30$	4.0 15.0	110
C 丙1	17	静 0→9, 0→30, 0→P <sub>R</sub>	31.5	31.5	31.5		27

て  $P_y$  での曲線の折り曲りが鋭くない。鉄筋のないC丙では  $P_y$  と  $P_B$  とが一致している。写真2に静的載荷後のけたの破壊状況を示す。

C甲、6, 7, C乙3 (いづれも  $N=0$ ) にくり返し荷重を加え、動的荷重がこの種つぎ目の剪断強さにおよぼす影響をしらべた。その結果図10, 12に示すように静的載荷時の  $P_y$

図10  $P=2 \sim 20 t$  のずれと  
ずれと載荷回数  
(C甲7動試験)

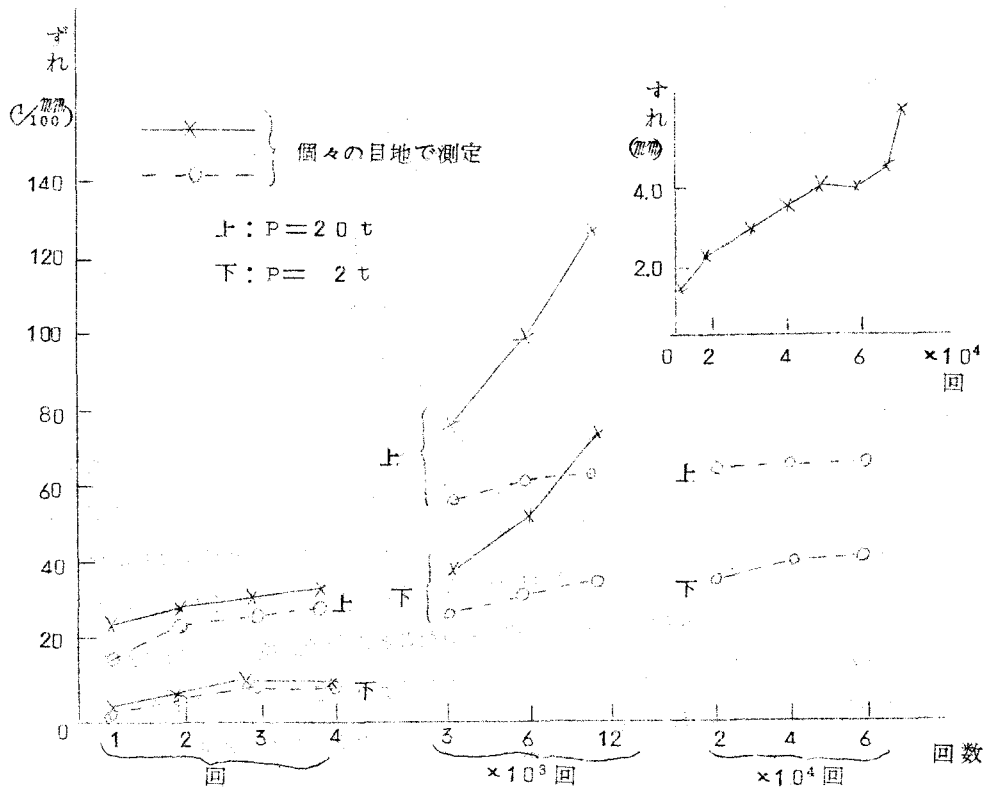
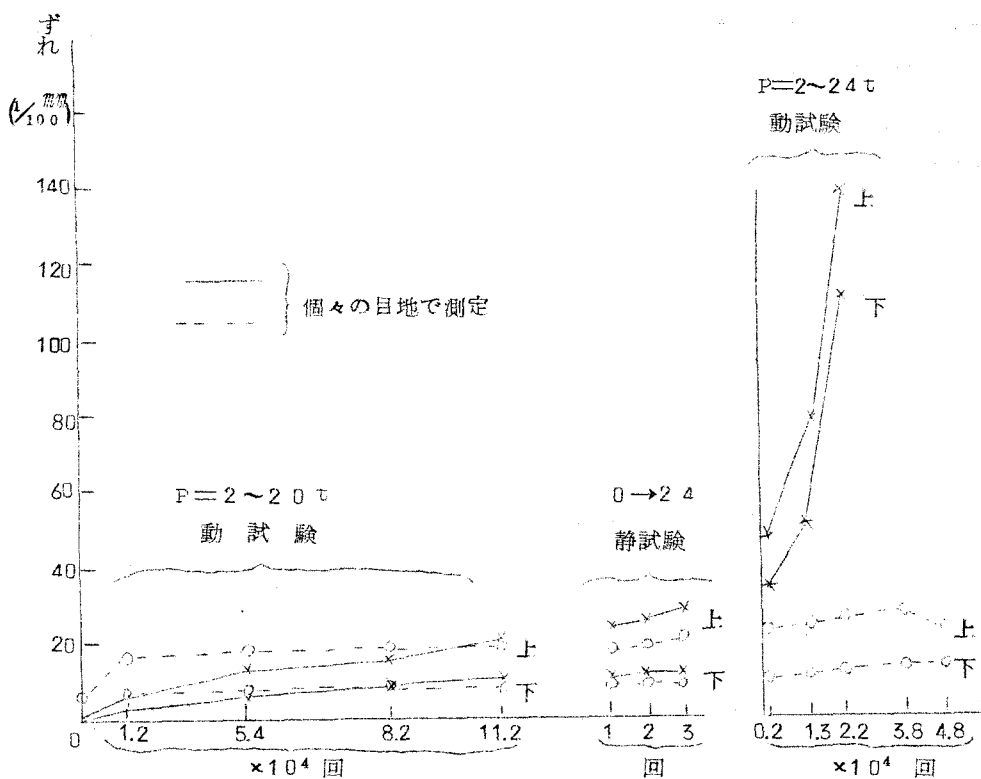


図12  $P=2 \sim 20t$ ,  $2 \sim 24t$  の  
ずれと載荷回数  
(C 2, 3動試験)



以下の荷重をくりかえしても、ずれが漸次進行してかなり大きくなることが分つた。図のたて軸に示すずれは処女載荷の0点を原点としたもので、よこ軸にはくり返し回数を示す。○甲6は $2 \sim 24t$ をくり返したところ 目地のくいちがいが目立ち、1万回で残留ずれは14mm、3万回で20mmに達し、けたは摩擦によつて発熱した。図11に○甲7けたのくりかえし載荷後の静載荷時のずれを示す。図から片側の目地が健在であつたことが分る。動的載荷では乙型の方が甲型よりも良い成績を示している。○23は図12にみるよう $2 \sim 20t$ を11万回くり返しても何れの目地のずれもほとんど増加せず、くりかえし上限を $24t$ にまで漸く、

片側の目地のずれが急増し始めた。

## 6. あとがき

以上の試験結果から図1の設計は充分安全であるといえよう。

図5, 7にみるようP Cつぎででも、RCつぎででも引張鋼材が降伏点に達すると変形が急増してやがて破壊しているから曲げに対する安全度は鋼材が降伏する荷重を基準として定めるべきである。プレストレスすることはかなり大きい曲げをうけても目地が開かないこと、高強度鋼材を使っても降伏時の目地の開きがそれほど大きくならない点に効果がある。

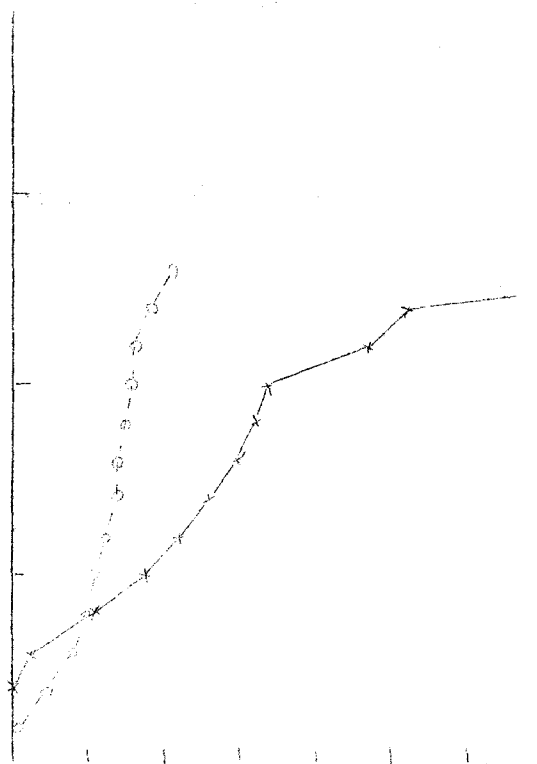


図11 7万回載荷後の静試験 (C甲7)

はとくに動荷重をうけると滑り易いから、異形鉄筋を使うのと同じ意味で、シースにはワインディングシースのような凹凸のあるものを用いるべきである。とくにフーチング内の鉄筋をアンカーする孔の壁面は充分な凹凸を有しそれ強度の高いものであることが望ましい。

5の実験にみるとつぎ目はくり返し荷重をうけると静的降伏荷重以下でもずれが進行する。その耐力低下の度合は甲型の方が乙型よりも著しい。しかしながら  $P = 20\text{ t}$  で目地に作用するずれ力  $10\text{ t}$  を目地の総断面で割った値、 $\tau = 8.4 \frac{\text{kN}}{\text{cm}}$  は図1の目地に作用する地震時の  $\tau = 3.3 \frac{\text{kN}}{\text{cm}}$ 、遠心力作用時  $1.4 \frac{\text{kN}}{\text{cm}}$ 、に比してかなり大きく、しかも実際の橋脚では目地にずれ力の5倍以上の垂直力が作用しているので動的ずれ抵抗は  $N = 0$  の場合よりも大きいと思われる。設計上心配はない。とくに地震時はくりかえし回数も少なく、力は左右両方向に交互に作用するから、試験のようにずれが一方に進行することはないと思われる。

甲型の溝つき目地のずれ抵抗が期待したほど乙型目地に比して強くなかったのは、剪断力方

向のかべのずれ抵抗が溝によってそれほど強化されなかつたためと考えられる。みぞをより深くし、みぞの底にかべ方向のずれ抵抗をますために、たとえば歯形の凹凸を設けると効果があると思われる。

ここに報告した試験のうち静試験はP.S.コンクリートK.K.鴨宮工場で動試験は国鉄技術研究所構造物研究室で行なつたものであり、それぞれの試験は岩城氏、浅沼氏に担当していただきた。

1) 各種PC用鋼の試験 (2) PC技術協会誌 VOL3 NO.3 1961